

Fadiga de Materiais Estruturais: Fundamentos e Aplicações

Diego Felipe Sarzosa Burgos
dsarzosa@usp.br

fppt.com

AGENDA

1. *Motivação (Motivation)*
2. *Modos de Falha (Failures Modes)*
3. *Falhas Estruturais por Fadiga (Fatigue Failures)*
4. *Metodologias para Avaliação da Vida à Fadiga (Fatigue Methodologies)*
 - *Carregamento Constante (Constant Amplitude Loading)*
 - $S-N$ } *Initiation*
 - $\epsilon-N$ }
 - $da/dN-\Delta K$ (*Propagation*)

dsarzosa@usp.br

fppt.com

AGENDA

4. Metodologias para Avaliação da Vida à Fadiga (Fatigue Methodologies)

- Carregamento Constante (Constant Amplitude)
 - S-N
 - ϵ -N
 - $da/dN-\Delta K$
- Efeitos de Entalhes (Notches)
- Carregamento Variável (Variable Amplitude Loading)
 - Contagem de Ciclos (Cycle Counting)
 - Acúmulo de Dano (Damage Summing Methods)
 - Efeitos da Sequência (Sequence Effects)
- Juntas Soldadas (Welded Joints)
- Fadiga Multiaxial (Multiaxial Fatigue)

dsarzosa@usp.br

fppt.com

O Curso



fppt.com

AGENDA

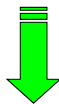
1. *Motivação (Motivation)*
2. *Modos de Falha (Failures Modes)*
3. *Falhas Estruturais por Fadiga (Fatigue Failures)*
4. *Metodologias para Avaliação da Vida à Fadiga (Fatigue Methodologies)*
 - *Carregamento Constante (Constant Amplitude Loading)*
 - $S-N$ } Initiation
 - $\varepsilon-N$ }
 - $da/dN-\Delta K$ (Propagation)

dsarzosa@usp.br

fppt.com

Motivação

- *Fatores de Segurança Possuem Base Empírica*
- *Cálculo de estruturas é feito com base na experiência previa*



Danos e Defeitos Comprometem a Integridade Estrutural!

fppt.com

Motivação

- **Integridade Estrutural**

Considera-se que uma estrutura está **íntegra** quando pode suportar os carregamentos de operação com uma probabilidade mínima de falha durante o tempo de vida útil.

fppt.com

Motivação

- **Integridade Estrutural**

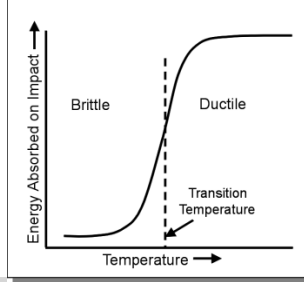
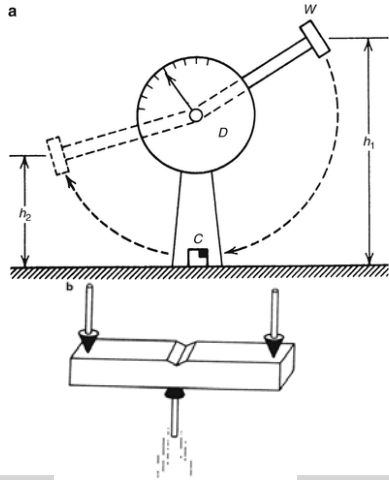
Considera-se que uma estrutura está íntegra quando pode suportar os carregamentos de operação com uma probabilidade mínima de falha durante o tempo de vida útil.

- Uma falha impede que uma estrutura ou componente cumpra su função estrutural.
- As falhas podem ser **catastróficas** ou **não**

fppt.com

Navio Titanic

Temperatura de Transição Dúctil-Frágil



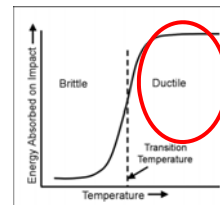
fppt.com

Navio Titanic

| | C | Mn | P | S | Si | Mn:S |
|--------------|------|------|-------|-------|-------|--------|
| Aço Titanic | 0.21 | 0.47 | 0.045 | 0.069 | 0.017 | 6.8:1 |
| Aço ASTM A36 | 0.20 | 0.55 | 0.012 | 0.037 | 0.007 | 14.9:1 |

| | σ_{ys} (MPa) | σ_T (MPa) | Elong. (%) |
|--------------|---------------------|------------------|------------|
| Aço Titanic | 193 | 417 | 29 |
| Aço ASTM A36 | 235 | 460 | 22 |

| | T_{Tr} (°C) @ 20 J |
|----------------------------|----------------------|
| Aço Titanic (Longitudinal) | 32 |
| Aço Titanic (Transversal) | 56 |
| Aço ASTM A36 | -27 |



Temperatura de Transição Elevada ←



fppt.com

AGENDA

1. *Motivação (Motivation)*
2. *Modos de Falha (Failures Modes)*
3. *Falhas Estruturais por Fadiga (Fatigue Failures)*
4. *Metodologias para Avaliação da Vida à Fadiga (Fatigue Methodologies)*
 - *Carregamento Constante (Constant Amplitude Loading)*
 - $S-N$ } Initiation
 - $\epsilon-N$ }
 - $da/dN-\Delta K$ (Propagation)

dsarzosa@usp.br

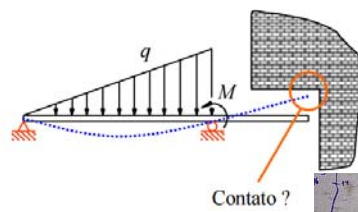
fppt.com

Modos de Falha

- Deformação excessiva
- Escoamento / Colapso Plástico
- Fadiga
- Fratura
- Flambagem
- Corrosão
- Creep

fppt.com

Deformação



Normas: limitam deslocamentos máximos.

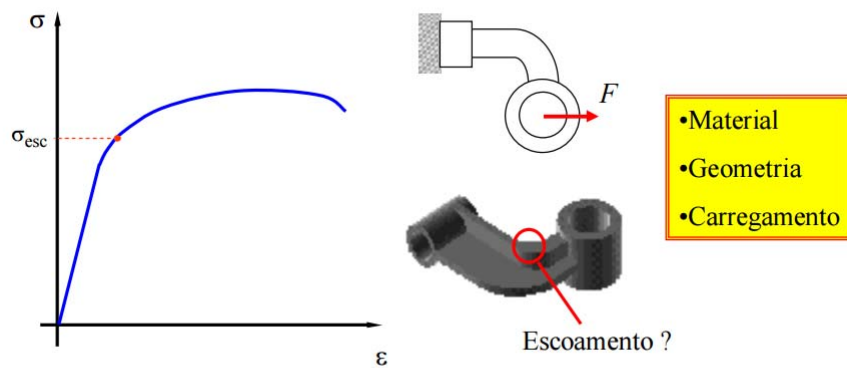


Deformação Excessiva



Escoamento

Escoamento à temperatura ambiente

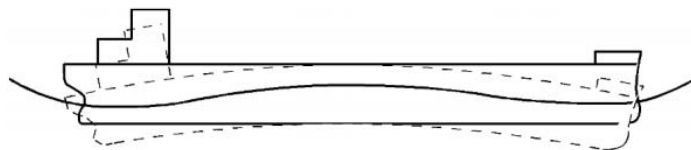


➔ Projeta-se para que as tensões nos pontos críticos não ultrapassem σ_{esc} .

fppt.com

Fadiga

Hogging (Alquebramento)



Sagging (Tosamento)

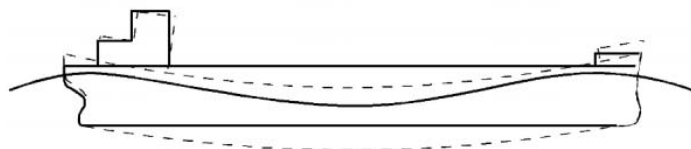
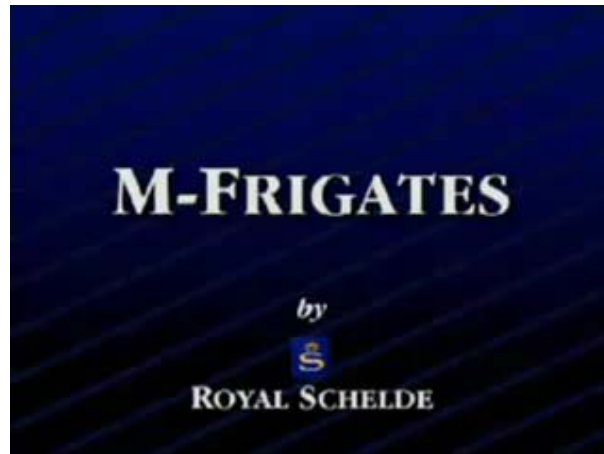


Fig. 2.2.1 Vertical bending due to waves

fppt.com

Fadiga



fppt.com

Fadiga



fppt.com

Fratura Frágil



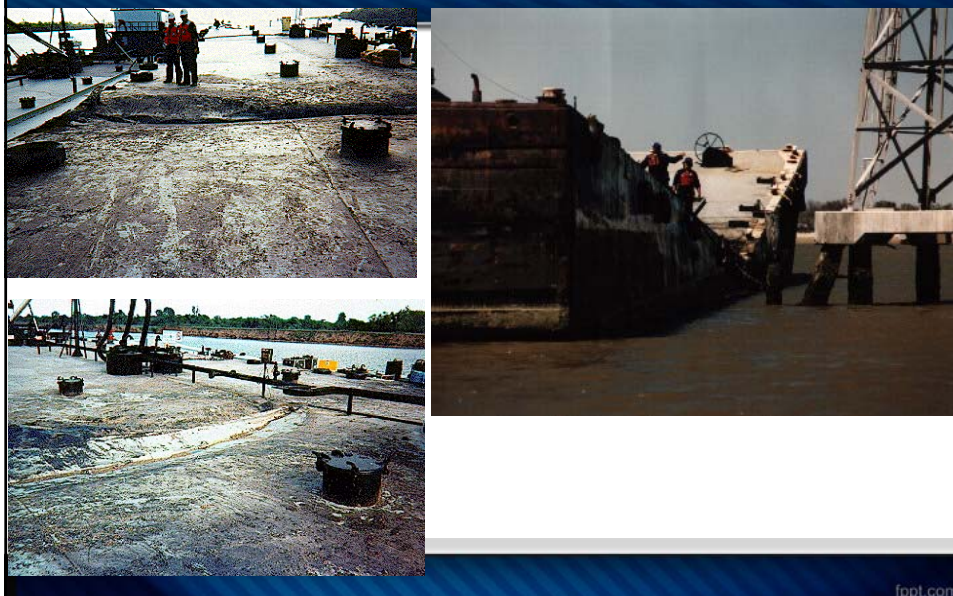
ano 2000

Figure 1. Forward section of the FLARE [1].

Falha acontece mesmo sob tensões menores que o limite de escoamento

fppt.com

Flambagem “Viga-Navio”



fppt.com

Fratura

ano 2000



fppt.com

Oscilação auto-excitada(Ressonância)



fppt.com

Modo de Falha Combinado

$$1+1 = ?$$



$$1+1 < 1$$

$$1+1 > 1$$



Incertezas nas Cargas



Somewhere out there

fppt.com

Cargas Ocasionais (Impacto)



fppt.com

Incertezas nas Cargas



fppt.com

Incertezas nas Cargas



fppt.com

AGENDA

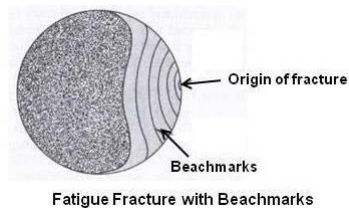
1. *Motivação (Motivation)*
2. *Modos de Falha (Failures Modes)*
3. **Falhas Estruturais por Fadiga (Fatigue Failures)**
4. *Metodologias para Avaliação da Vida à Fadiga (Fatigue Methodologies)*
 - *Carregamento Constante (Constant Amplitude Loading)*
 - $S-N$ } Initiation
 - $\epsilon-N$ }
 - $da/dN-\Delta K$ (Propagation)

dsarzosa@usp.br

fppt.com

Falhas Fadiga

- A **FADIGA** representa mais de 50% de todas as falhas mecânicas reportadas na literatura.
- *Efeito cumulativo de Danos (Microestruturais) devido à ação cíclica de Esforços.*



dsarzosa@usp.br

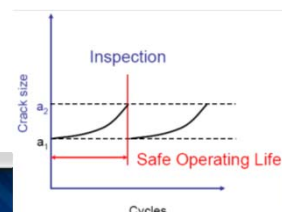
fppt.com

Falhas Catastróficas

- Custos devido à problemas da fadiga/fratura nos EUA \$119 Bilhões 4% PIB (1980)



Estimativas da vida à fadiga muito conservadoras implica em **altos custos** de **construção/manutenção/inspeção**.



Plataforma semi-submersível Alexander Kielland



•1980 nas águas do
Mar do Norte

- Fadiga da junta soldada
circunferencial no
contraventamento D-6



fppt.com

Fadiga em Plataforma

27 March, 1980, 18:30
Ekofisk Oil Field, North Sea

fppt.com

Fadiga em Navios



Falhas Catastróficas por Fadiga



- CUSTOS?
- RESPONSABILIDADES ? Civil , Penal !
- IMPACTO NA NATUREZA?

FADIGA

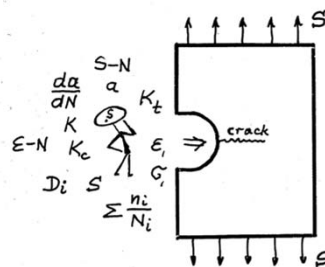
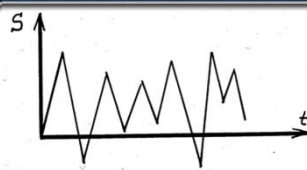
- O que é?
- Quando e porquê acontece?
- Como é avaliada a resistência à Fadiga dado um carregamento cíclico?
- Como é caracterizada a resistência à Fadiga de um material?



dsarzosa@usp.br

fppt.com

FADIGA – O que é?



$N_i = ?$

$N_p = ?$

$N_T =$

?

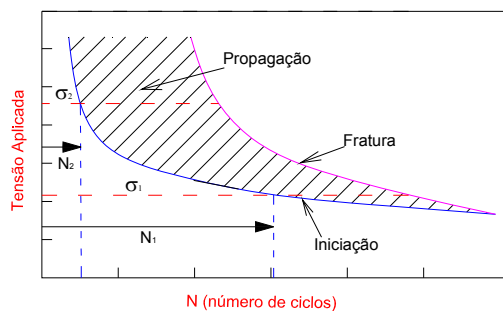
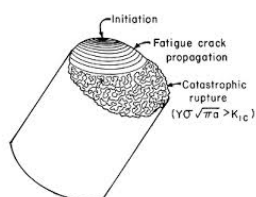
Fadiga mecânica é o fenômeno de **dano** progressivo de materiais sujeitos a esforços **cíclicos** (ΔP , ΔM , ΔT).

26

fppt.com

Objetivos do Estudo da Fadiga

- Estimativas acuradas do tempo de iniciação de uma trinca (N_i)
- As correspondentes taxas de propagação de trinca (da/dN)

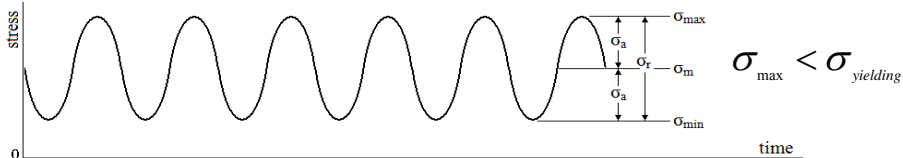


dsarzosa@usp.br

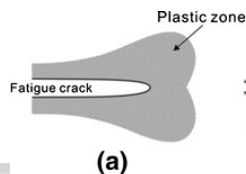
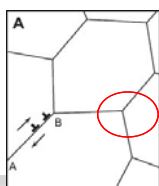
fppt.com

Quando Aconteça Fadiga

✓ Esforços Alternados



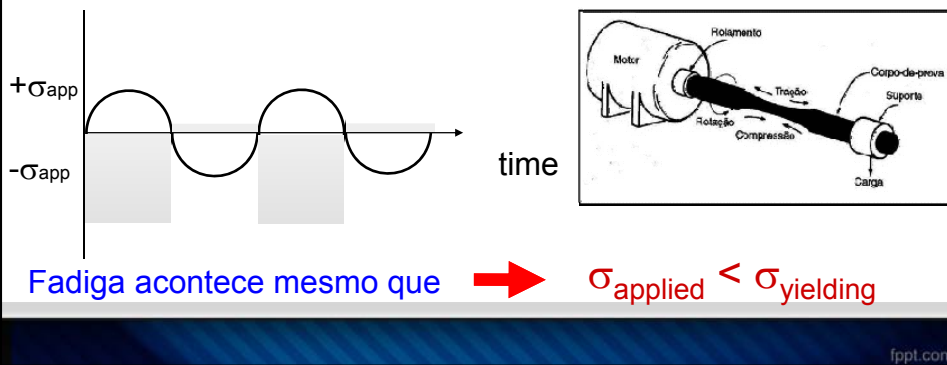
✓ Deformação Plástica Localizada (Processo Irreversível)



fppt.com

DEFINIÇÃO FADIGA

- **Fadiga mecânica** é o fenômeno de **dano** progressivo de materiais sujeitos a esforços **cíclicos** (ΔP , ΔM , ΔT).

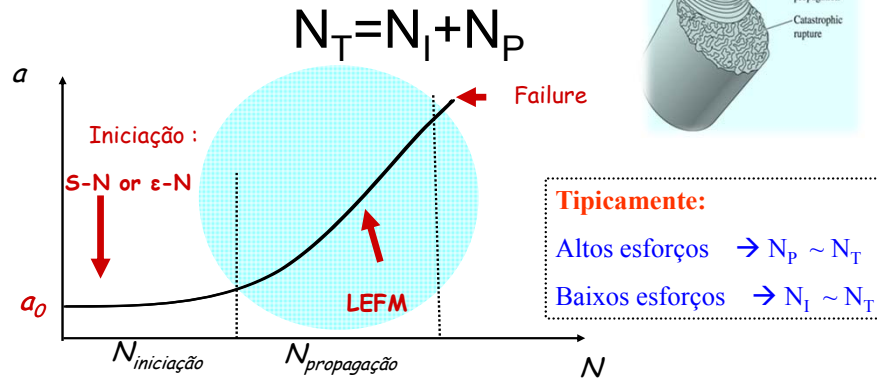


AGENDA

1. *Motivação (Motivation)*
2. *Modos de Falha (Failures Modes)*
3. *Falhas Estruturais por Fadiga (Fatigue Failures)*
4. **Metodologias para Avaliação da Vida à Fadiga (Fatigue Methodologies)**
 - **Carregamento Constante (Constant Amplitude Loading)**
 - $S-N$ } **Initiation**
 - $\epsilon-N$ }
 - $da/dN-\Delta K$ (*Propagation*)

Avaliação da Vida à Fadiga

Vida à fadiga de um componente:



fppt.com

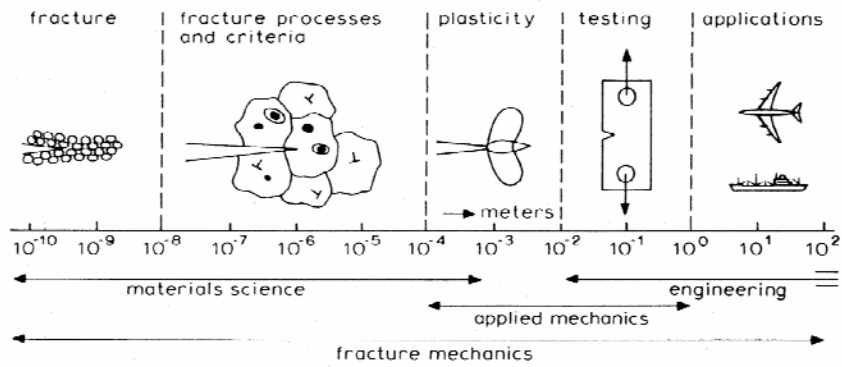
Iniciação de Trincas

- Duas metodologias
 - S x N (Alto ciclo)
 - ϵ x N (Baixo ciclo)
- Caracterizada por:
 - Deformação plástica altamente localizada
 - Fenômeno de superfície
 - Processo estocástico

dsarzosa@usp.br

fppt.com

The Broad Field of Fracture Mechanics/Fatigue

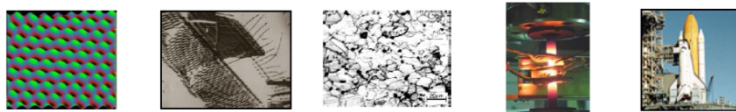


(from Ewalds & Wanhil, ref.3)

fppt.com

The Broad Field of Fracture Mechanics/Fatigue

Atoms Dislocations Crystals Specimens Structures



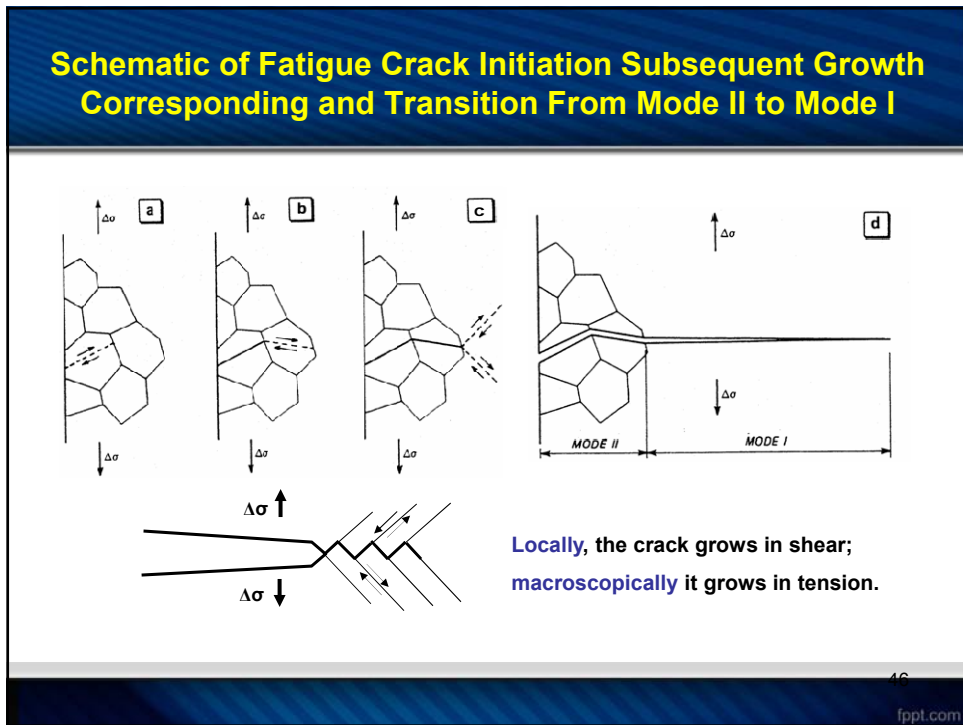
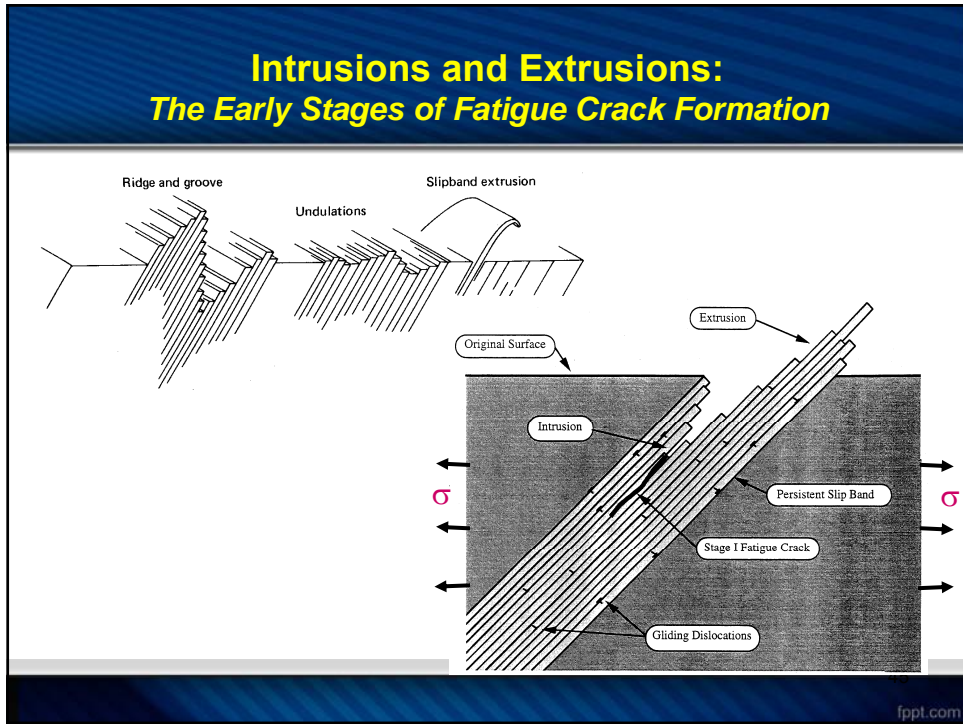
10^{-10} 10^{-8} 10^{-6} 10^{-4} 10^{-2} 10^0 10^2

Understand the physics on this scale

Model the physics on this scale

Use the models on this scale

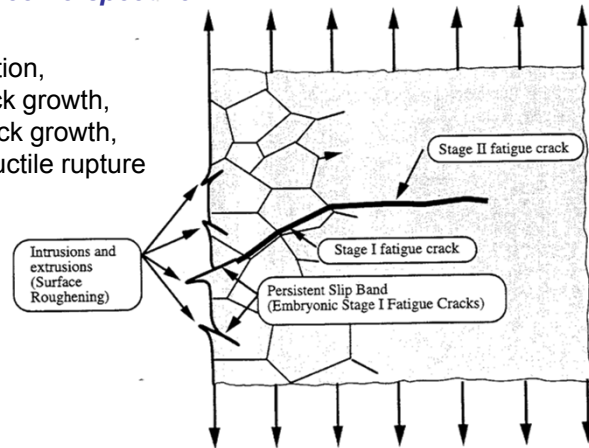
fppt.com



The Process of Fatigue

The Materials Science Perspective:

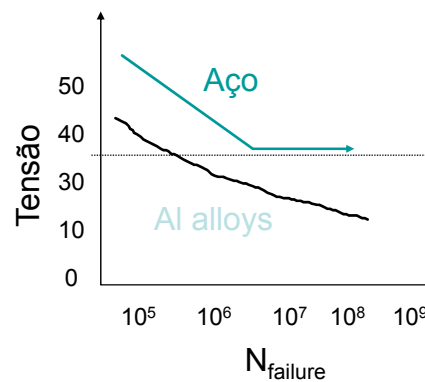
- Cyclic slip,
- Fatigue crack initiation,
- Stage I fatigue crack growth,
- Stage II fatigue crack growth,
- Brittle fracture or ductile rupture



fppt.com

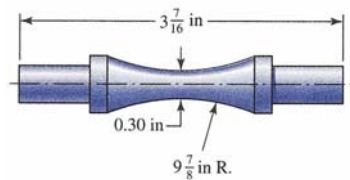
Curvas S-N

- Fadiga de alto ciclo
- Tensão aplicada $\Delta\sigma$
 $\sigma_{\text{applied}} < \sim 2/3 \sigma_{\text{yield}}$
- Tensões são **nominalmente** elásticas.
- Localmente o material deforma plasticamente



fppt.com

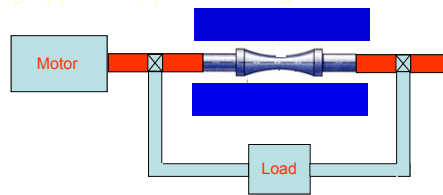
Avaliação Convencional das Propriedades S-N



Superfície Polida

Momento Fletor Constante

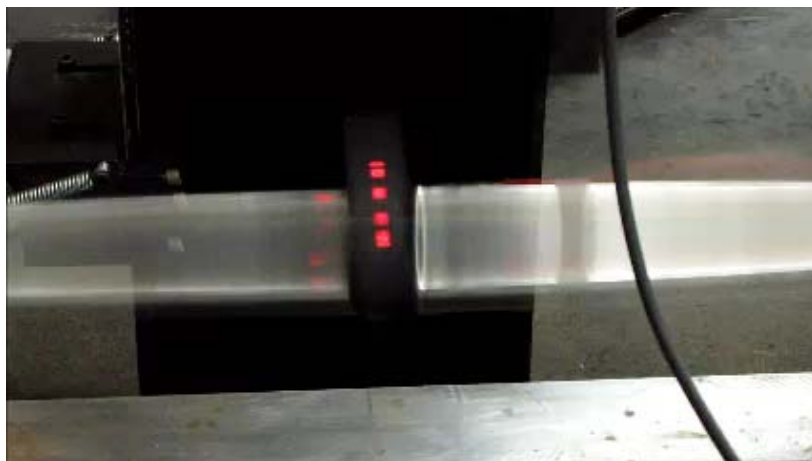
Typical testing apparatus, pure bending



Rotating beam machine – applies fully reverse bending stress

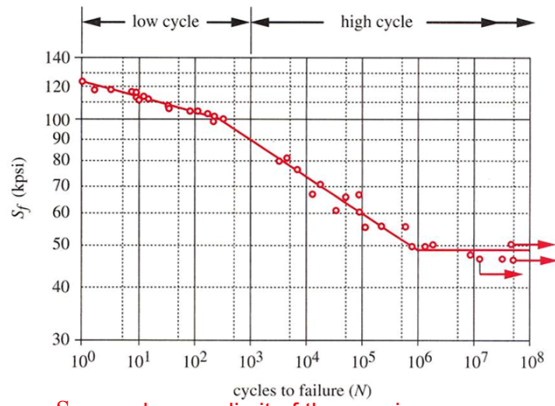
fppt.com

Avaliação Convencional das Propriedades S-N



fppt.com

Typical S-N curve

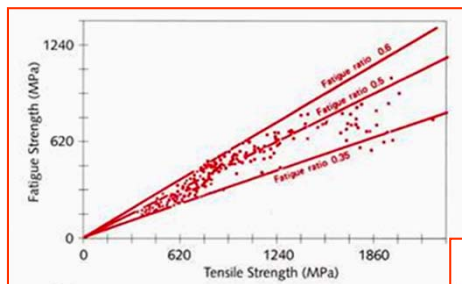


S_e = endurance limit of the specimen

dsarzosa@usp.br

fppt.com

Relationship Between Endurance Limit and Ultimate Strength

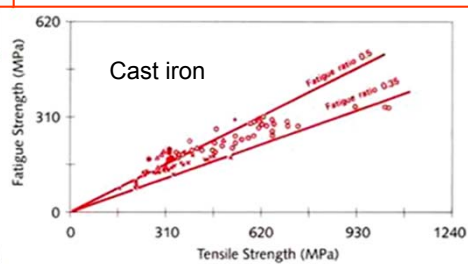


Steel

$$S'_e = \begin{cases} 0.5S_{ut} & S_{ut} \leq 200 \text{ ksi (1400 MPa)} \\ 100 \text{ ksi} & S_{ut} > 200 \text{ ksi} \\ 700 \text{ MPa} & S_{ut} > 1400 \text{ MPa} \end{cases}$$

Cast iron

$$S'_e = \begin{cases} 0.4S_{ut} & S_{ut} < 60 \text{ ksi (400 MPa)} \\ 24 \text{ ksi} & S_{ut} \geq 60 \text{ ksi} \\ 160 \text{ MPa} & S_{ut} < 400 \text{ MPa} \end{cases}$$



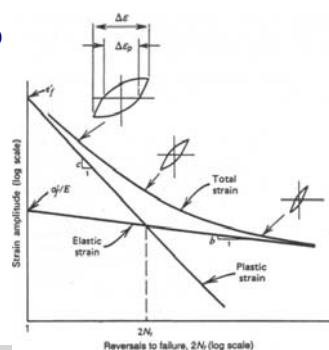
Cast iron

fppt.com

Curvas ϵ -N

Fadiga de baixo ciclo

- Carregamento aplicado produz deformações plásticas $\Rightarrow \Delta\epsilon_{\text{total}} > \epsilon_{\text{escoamento}}$
 - $\Delta\epsilon_{\text{total}} = \Delta\epsilon_{\text{elásticas}} + \Delta\epsilon_{\text{plásticas}}$
- Entalhes
- Descontinuidades



fppt.com

Curvas ϵ -N

- Fadiga de baixo ciclo

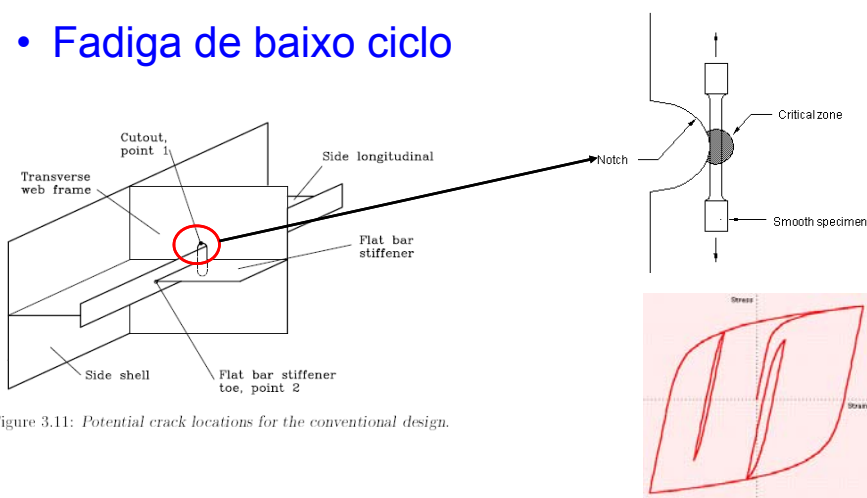


Figure 3.11: Potential crack locations for the conventional design.

fppt.com

Low Cycle Fatigue

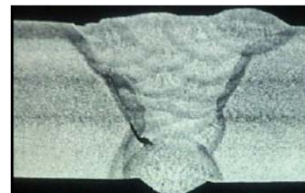
- Overloads
- ↓
- Plastic Deformation
- ↓
- Strain Life Analysis



fppt.com

Propagação de Trinca

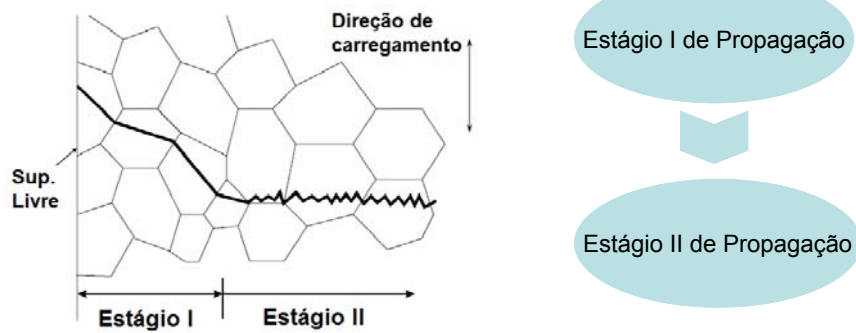
Contudo... para estruturas soldadas: $N_T \sim N_P$



dsarzosa@usp.br

fppt.com

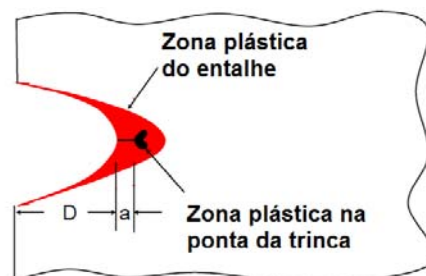
Propagação de Trinca



fppt.com

Propagação de Trinca

• Estágio I



• Tamanho (a) ~ 2-4 grãos (D)

• Fortemente influenciada pela microestrutura

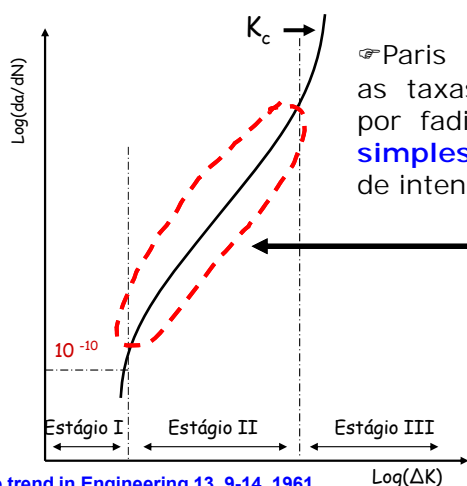
• Planos de escorregamento

• Nível de tensão

• Plasticidade na ponta da trinca

fppt.com

Propagação de Trincas (Estágio II)



Paris (1961) propus caracterizar as taxas de crescimento de trinca por fadiga - em forma **elegante** e **simples** - por meio do fator elástico de intensidade de tensões K :

$$\frac{da}{dN} = C(\Delta K)^m$$

$$\Delta K = \xi \Delta \varepsilon_{ij}$$

$$\xi = \left(\frac{E\sqrt{2\pi r}}{f_{ij}(\theta)} \right)$$

The trend in Engineering 13, 9-14, 1961

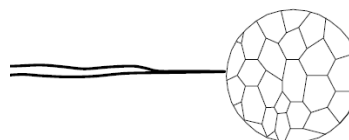
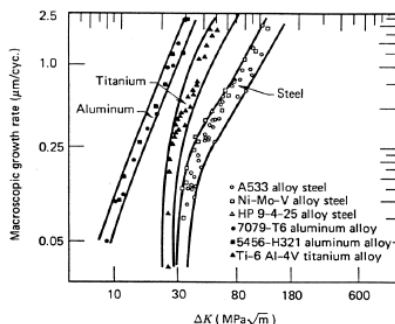
dsarzosa@usp.br

fppt.com

Propagação de Trincas (Estágio II)

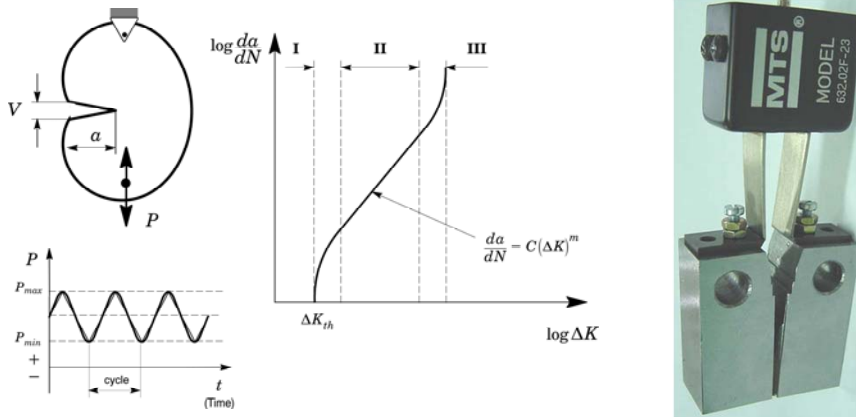
- Pouca influencia da resistência do material

- Zona plástica \gg microestrutura do material (pouca influência da microestrutura)



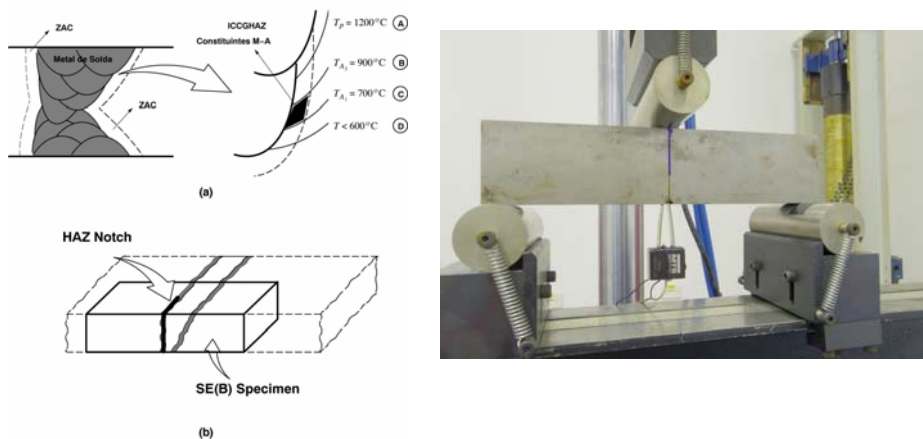
fppt.com

Avaliação Convencional das Propriedades da/dN



fppt.com

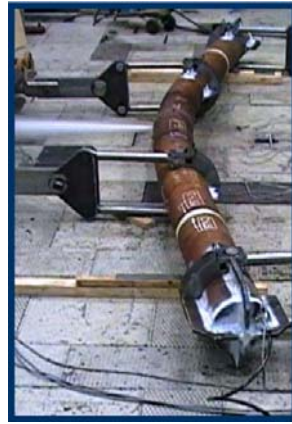
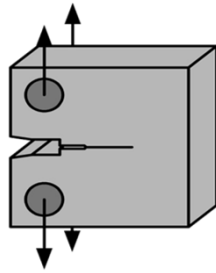
Avaliação Experimental de Fadiga



dsarzosa@usp.br

fppt.com

Correlação Laboratório vs. Estrutura



dsarzosa@usp.br

fppt.com

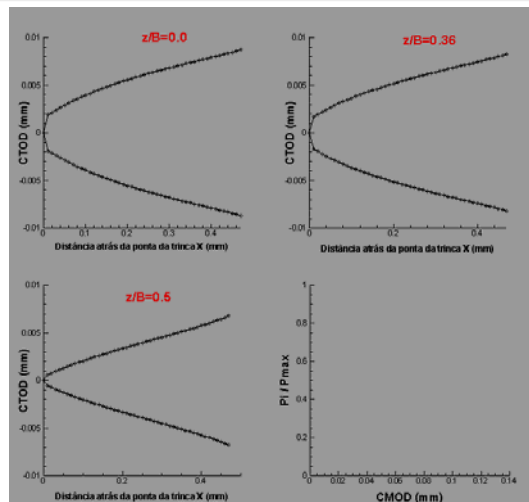
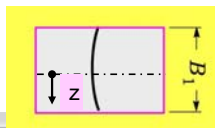
Análise Numérica de Fadiga

Força Motriz Efetiva

$$\Delta K_{eff} = f(P_{max}, P_o, a_j, t, W)$$

$$\frac{da}{dN} = C(\Delta K_{eff})^m$$

Fechamento Parcial da trinca



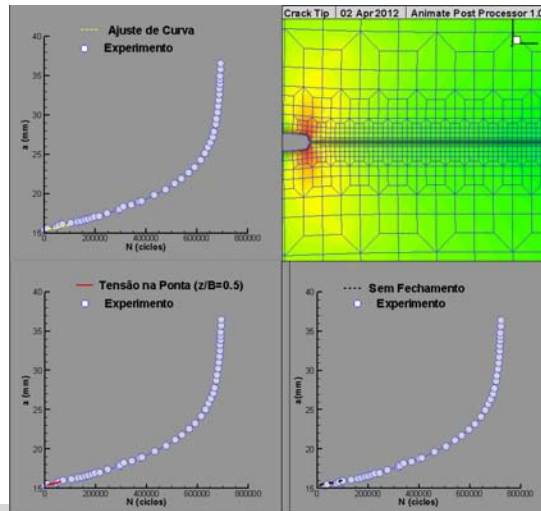
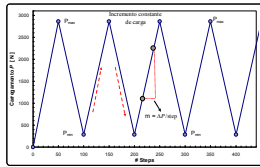
fppt.com

Análise Numérica de Fadiga

Propagação de defeitos

$$N = \int_{a_i}^{a_f} \frac{da}{C(\Delta K_{eff})^m}$$

$$\Delta K_{eff} = f(P_{max}, P_o, a, t, W)$$



dsarzosa@usp.br

fppt.com

AGENDA

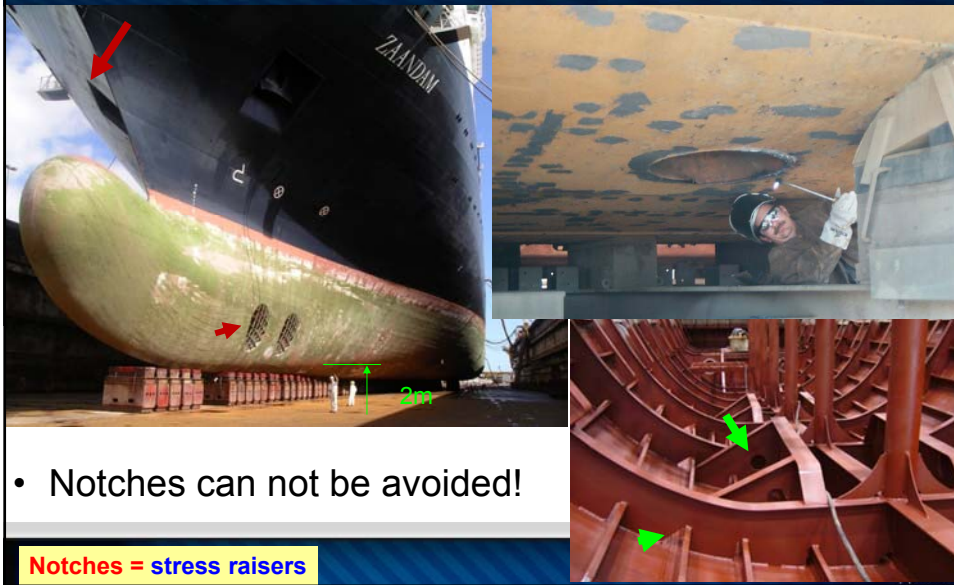
4. Metodologias para Avaliação da Vida à Fadiga (Fatigue Methodologies)

- Carregamento Constante (Constant Amplitude)
 - S-N
 - ϵ -N
 - da/dN - ΔK
- Efeitos de Entalhes (Notches)
- Carregamento Variável (Variable Amplitude Loading)
 - Contagem de Ciclos (Cycle Counting)
 - Acúmulo de Dano (Damage Summing Methods)
 - Efeitos da Sequência (Sequence Effects)
- Juntas Soldadas (Welded Joints)
- Fadiga Multiaxial (Multiaxial Fatigue)

dsarzosa@usp.br

fppt.com

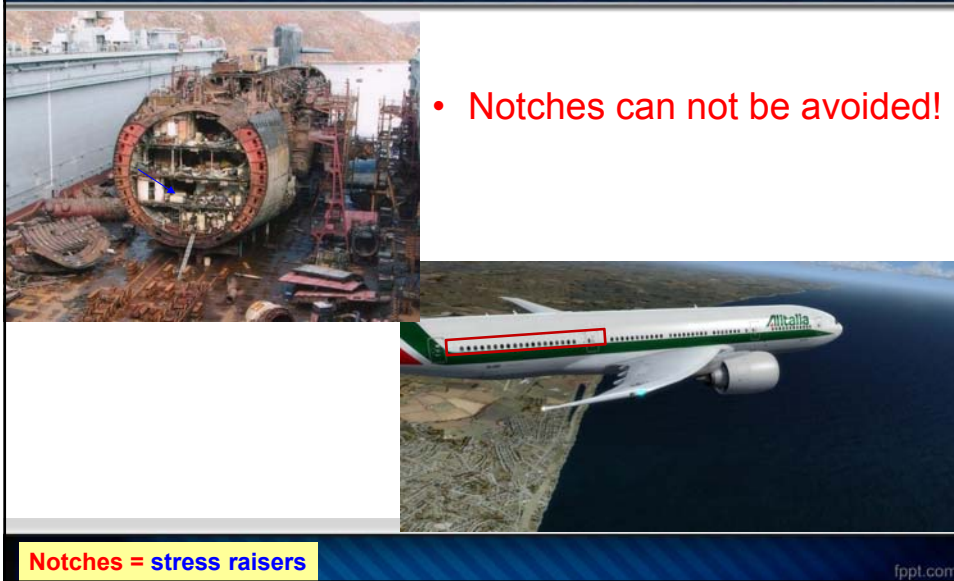
Opening (Notch)



- Notches can not be avoided!

Notches = stress raisers

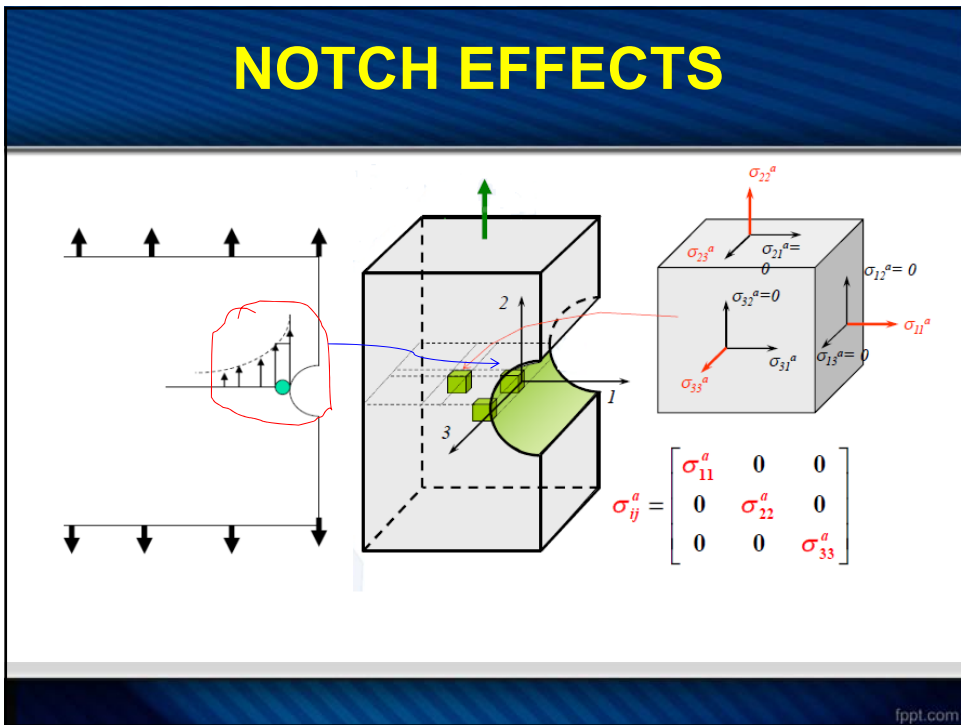
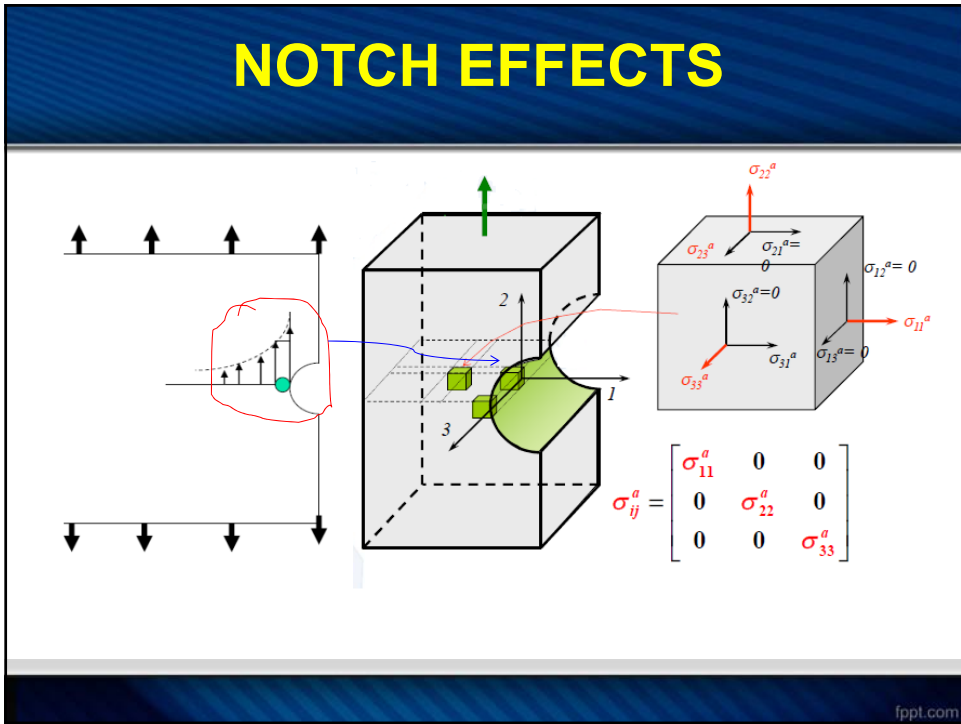
Entalhes (Notches)



- Notches can not be avoided!

Notches = stress raisers

fppt.com



NOTCH EFFECTS

$$\sigma_n = \frac{F}{A_{net}}$$

and

$$\sigma_{peak} = K_t \sigma_n$$

NOTCH EFFECTS

For tension $\lambda = 0$ and $\theta = 90$

stress

$\frac{\sigma_\theta}{\sigma}$

$\frac{\sigma_r}{\sigma}$

$\frac{a}{r}$

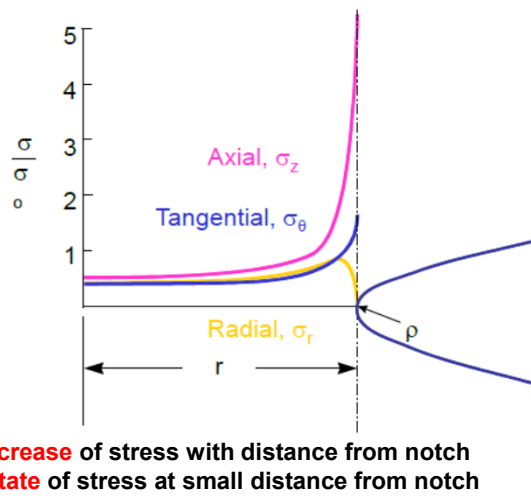
- Rapid **decrease** of stress with distance from notch
- **Biaxial state** of stress at small distance from notch

$$\frac{\sigma_r}{\sigma} = \frac{1+\lambda}{2} \left(1 - \left(\frac{r}{a}\right)^2 \right) + \frac{1-\lambda}{2} \left(1 + 3 \left(\frac{r}{a}\right)^4 - 4 \left(\frac{r}{a}\right)^2 \right) \cos 2\theta$$

$$\frac{\sigma_\theta}{\sigma} = \frac{1+\lambda}{2} \left(1 + \left(\frac{r}{a}\right)^2 \right) + \frac{1-\lambda}{2} \left(1 + 3 \left(\frac{r}{a}\right)^4 \right) \cos 2\theta$$

$$\frac{\tau_{\theta\phi}}{\sigma} = \frac{1-\lambda}{2} \left(1 - 3 \left(\frac{r}{a}\right)^4 + 2 \left(\frac{r}{a}\right)^2 \right) \sin 2\theta$$

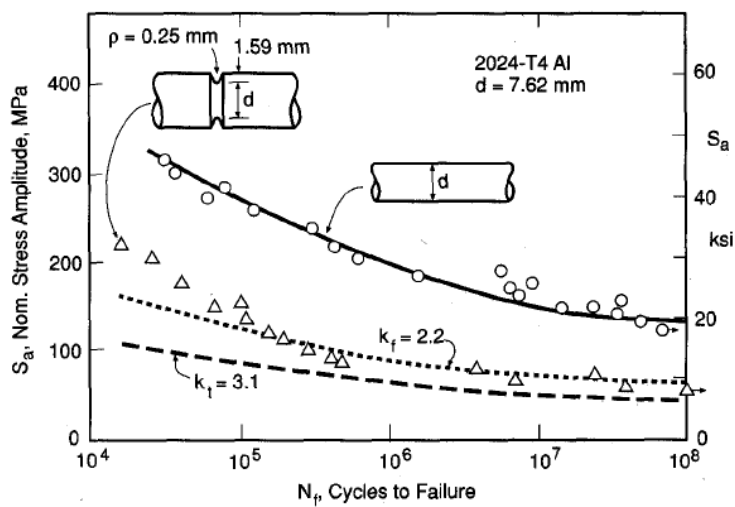
NOTCH EFFECTS



- Rapid **decrease** of stress with distance from notch
- **Triaxial state** of stress at small distance from notch

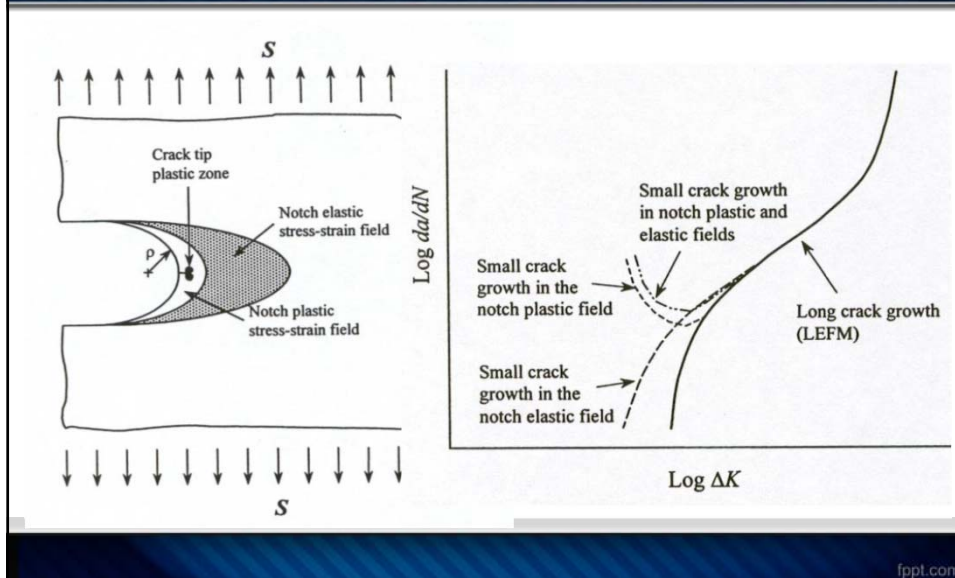
fppt.com

NOTCH EFFECTS



fppt.com

CRACK GROWTH AT NOTCHES

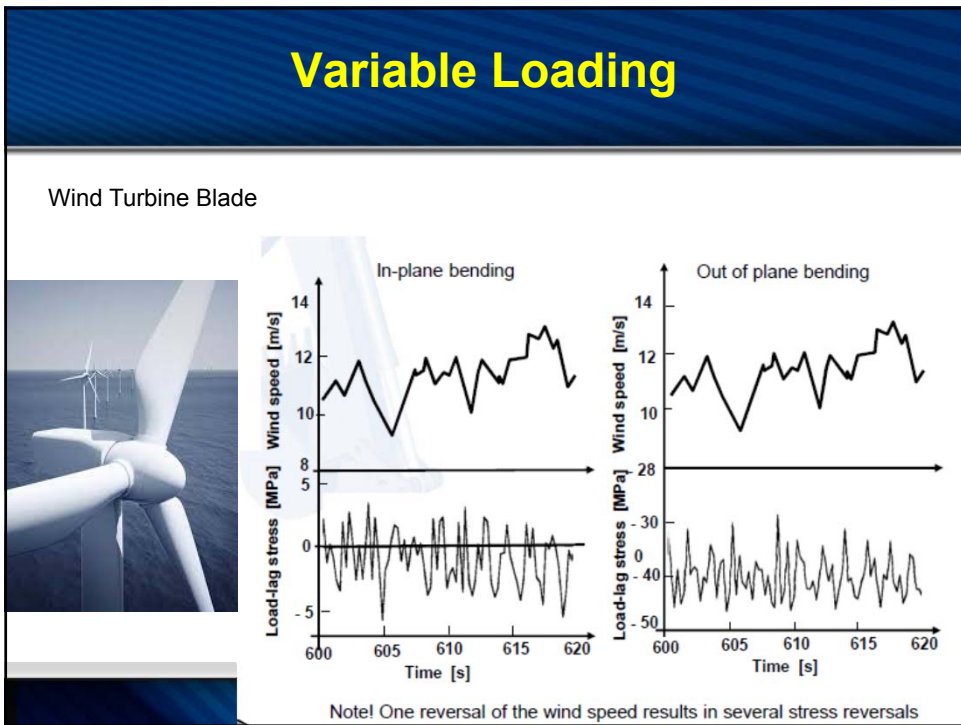
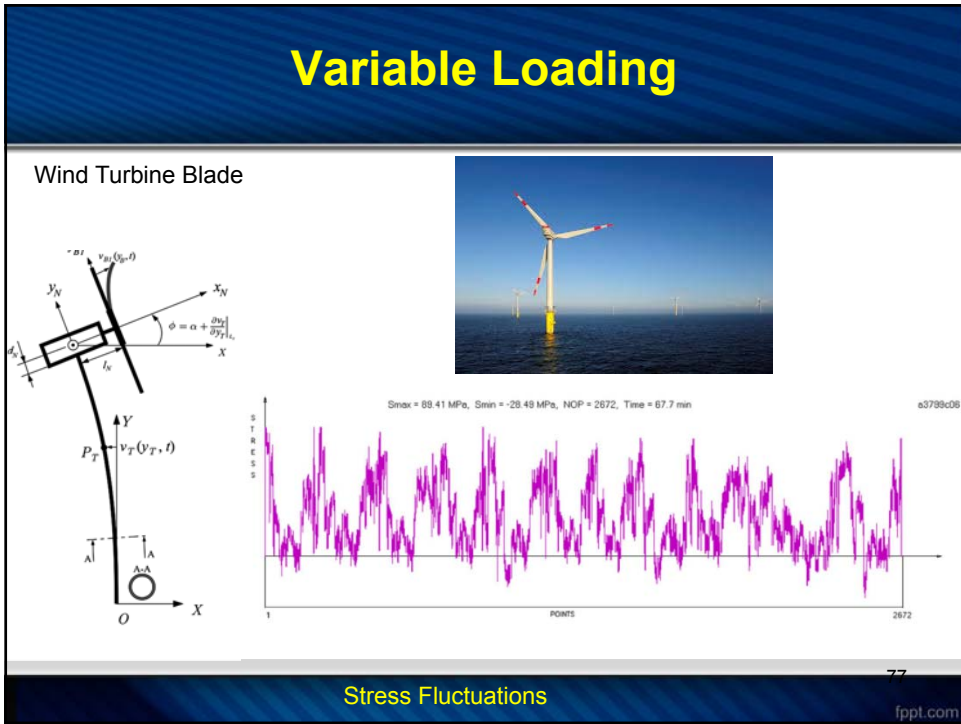


AGENDA

4. Metodologias para Avaliação da Vida à Fadiga (Fatigue Methodologies)
 - Carregamento Constante (Constant Amplitude)
 - S-N
 - e-N
 - da/dN -DK
 - Efeitos de Entalhes (Notches)
 - Carregamento Variável (Variable Amplitude Loading)
 - Contagem de Ciclos (Cycle Counting)
 - Acúmulo de Dano (Damage Summing Methods)
 - Efeitos da Sequência (Sequence Effects)
 - Juntas Soldadas (Welded Joints)
 - Fadiga Multiaxial (Multiaxial Fatigue)

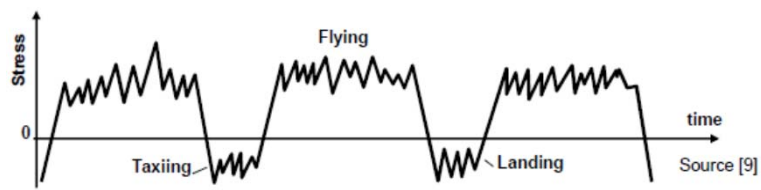
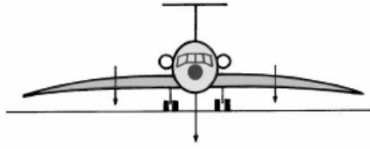
dsarzosa@usp.br

fppt.com



Variable Loading

Aircraft wing skin



Stress Fluctuations

79

fppt.com

Variable Loading

Ship

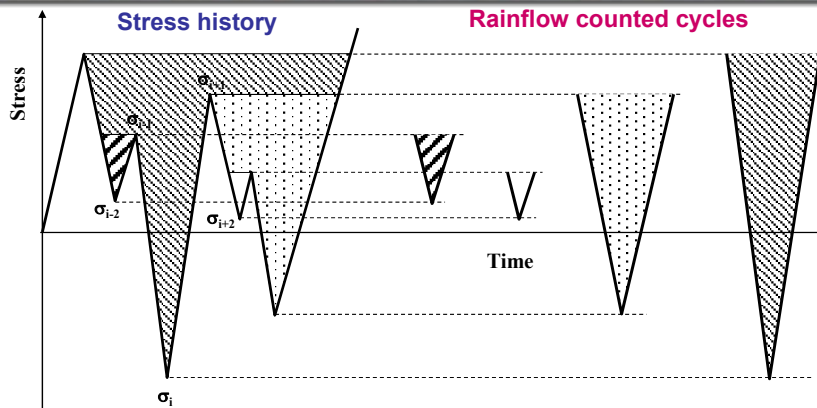


Stress Fluctuations

80

fppt.com

Rainflow Counted Cycles



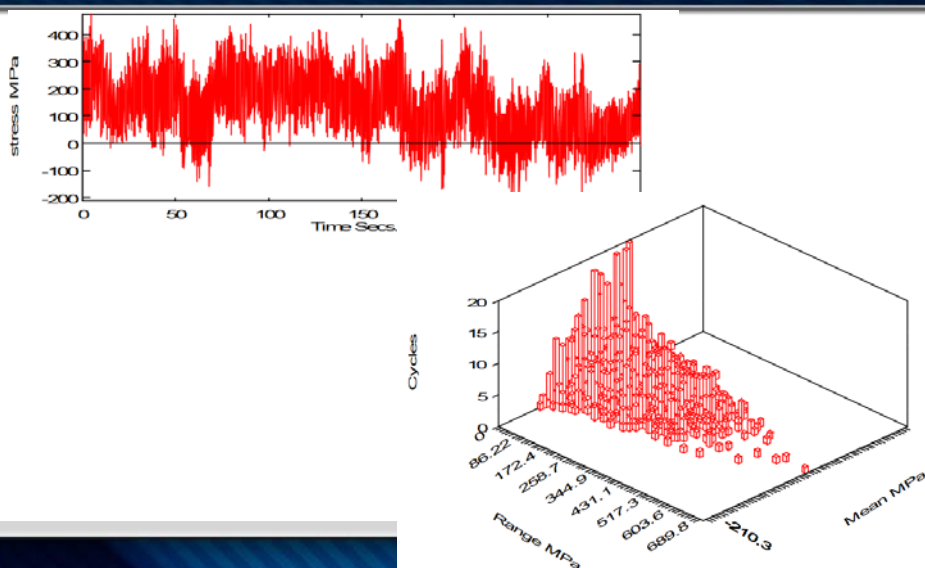
A *rainflow counted cycle* is identified when any two adjacent reversals in the stress history satisfy the following relation:

$$ABS|\sigma_{i-1} - \sigma_i| < ABS|\sigma_i - \sigma_{i+1}|$$

94

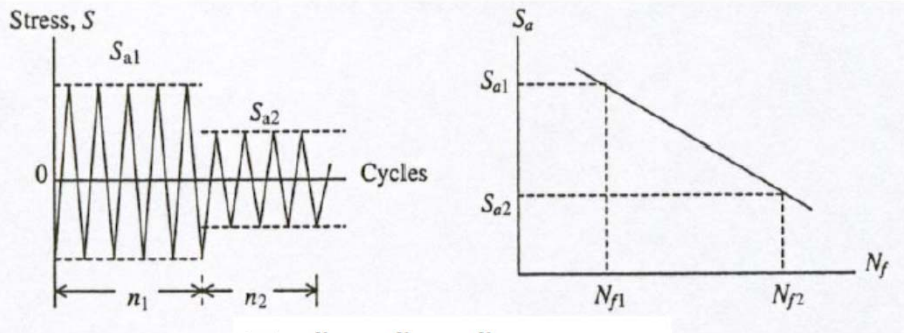
fppt.com

Range-mean histogram by rainflow



DAMAGE EVOLUTION

Palmgren-Miner Linear Damage Rule

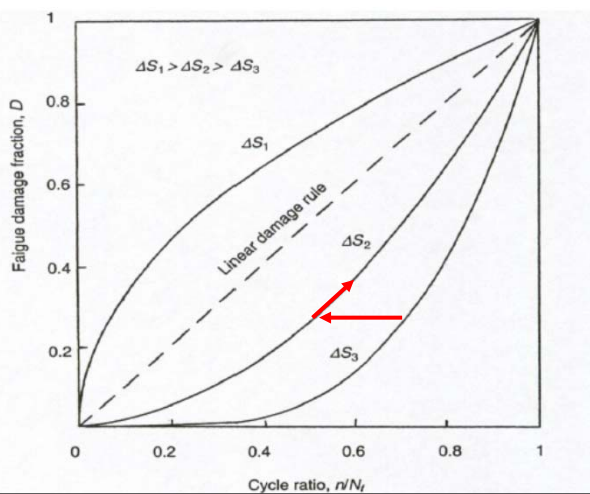


$$\sum \frac{n_i}{N_{fi}} = \frac{n_1}{N_{f1}} + \frac{n_2}{N_{f2}} + \dots = 1$$

fppt.com

DAMAGE EVOLUTION

Nonlinear Damage Rule



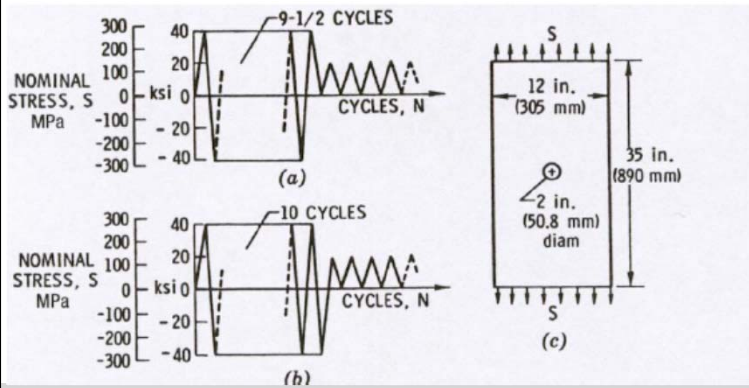
$$D = \sum_i \left(\frac{n}{N} \right)^\alpha$$

fppt.com

DAMAGE EVOLUTION

Nonlinear Damage Rule (Initiation)

$$D = \sum_i \left(\frac{n}{N} \right)^\alpha$$



Cycles

460×10^3

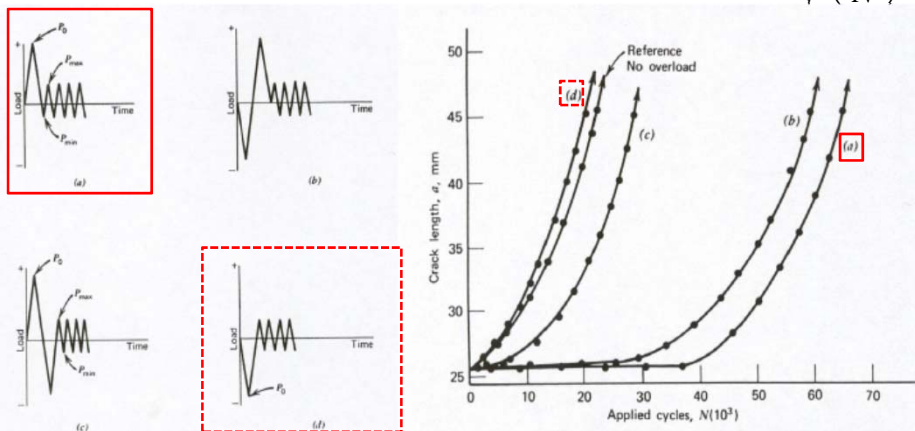
63×10^3

fppt.com

DAMAGE EVOLUTION

Nonlinear Damage Rule (Propagation)

$$D = \sum_i \left(\frac{n}{N} \right)^\alpha$$

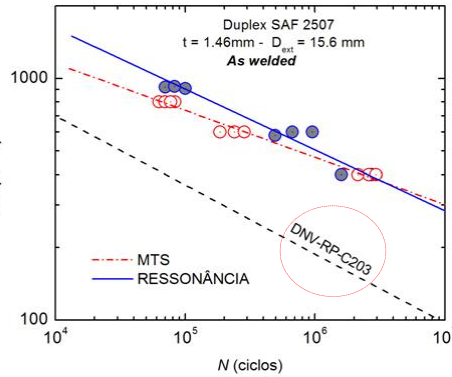
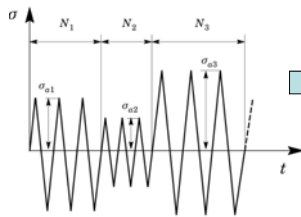


fppt.com

Rainflow + Damage

– Análise dos procedimentos correntes de avaliação usando normas de construção naval e de estruturas oceânicas.

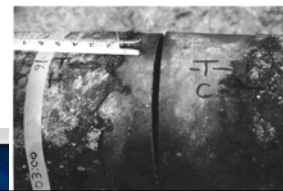
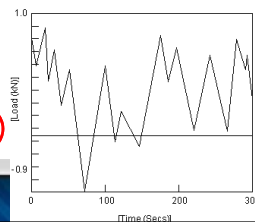
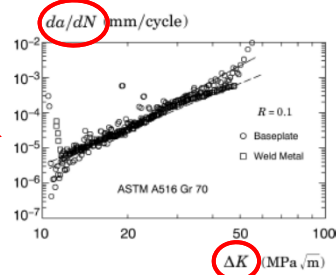
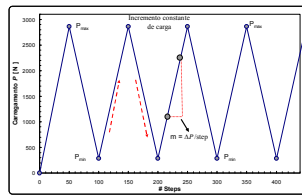
$$D_{mp} = \sum_i^m \frac{n_i}{N_{fi}}$$



fppt.com

Rainflow + Damage

• Forças Motrizes Cíclicas (efetivas) e Taxas de Propagação



AGENDA

4. Metodologias para Avaliação da Vida à Fadiga (Fatigue Methodologies)

- Carregamento Constante (Constant Amplitude)
 - S-N
 - ϵ -N
 - $da/dN-\Delta K$
- Efeitos de Entalhes (Notches)
- Carregamento Variável (Variable Amplitude Loading)
 - Contagem de Ciclos (Cycle Counting)
 - Acúmulo de Dano (Damage Summing Methods)
 - Efeitos da Sequência (Sequence Effects)
- Juntas Soldadas (Welded Joints)
- Fadiga Multiaxial (Multiaxial Fatigue)

dsarzosa@usp.br

fppt.com

Fatigue of Welds

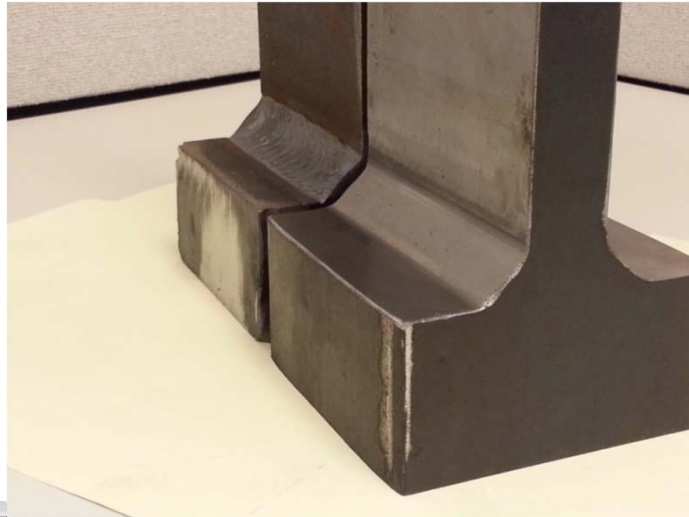
Weld Problems



NYS&DOT

© 2010-2014 Darrell Socis

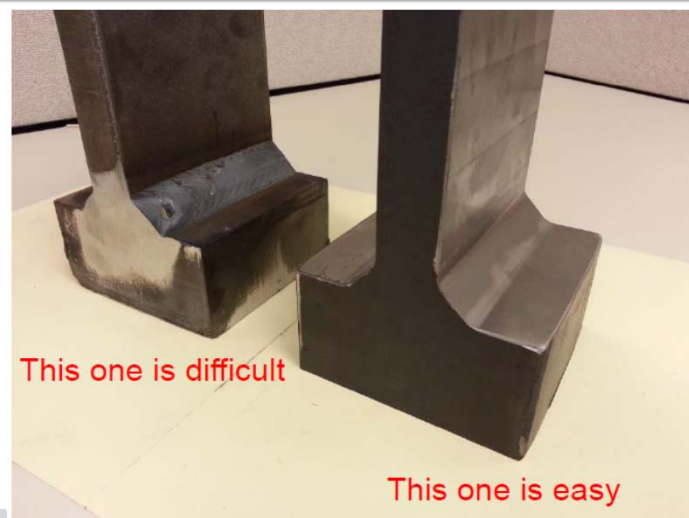
Fatigue of Welds



© 2010-2014 Darrell Socie

fppt.com

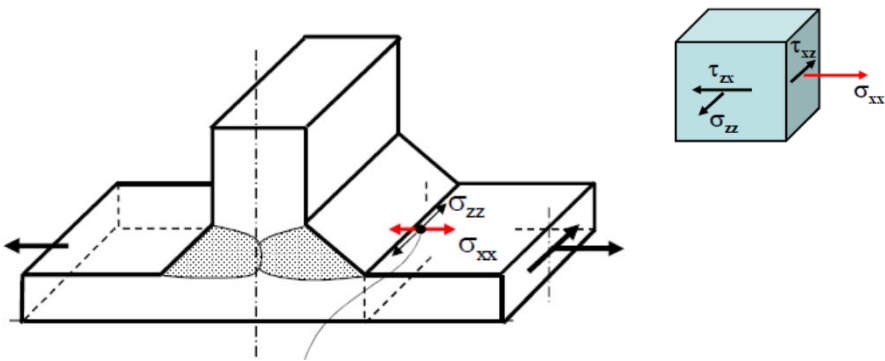
Fatigue of Welds



© 2010-2014 Darrell Socie

fppt.com

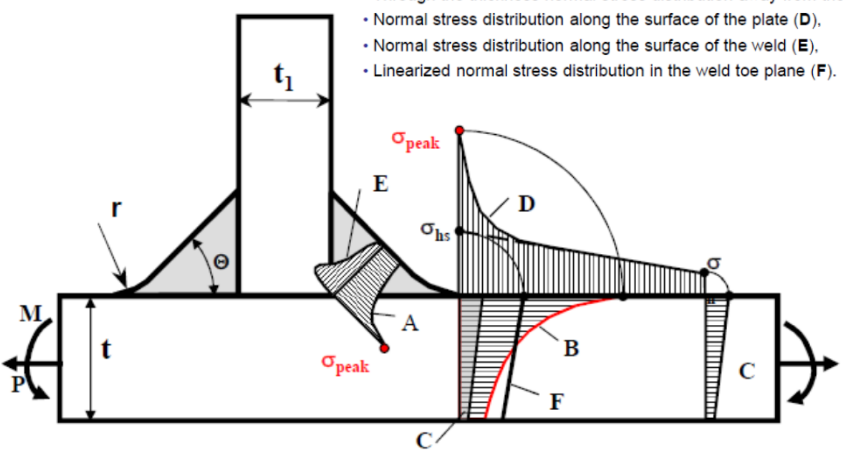
Stress State



- Multiaxial State of Stress at the weld toe
- Due to notch σ_{xx} is the largest component and responsible for fatigue damage

2008 Grzegorz Glinka

Stress Distribution in Welds



- Normal stress distribution in the weld throat plane (A),
- Through the thickness normal stress distribution in the weld toe plane (B),
- Through the thickness normal stress distribution away from the weld (C),
- Normal stress distribution along the surface of the plate (D),
- Normal stress distribution along the surface of the weld (E),
- Linearized normal stress distribution in the weld toe plane (F).

Various stress distributions in a T-butt weldment with transverse fillet welds; 2008 Grzegorz Glinka

Design Fatigue Curves

Tubular Welded Joint under Torsion and Bending

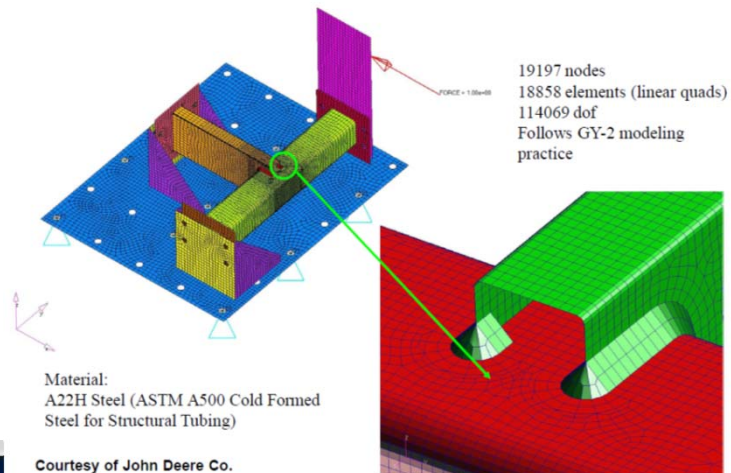


Courtesy of John Deere Co.

fppt.com

Design Fatigue Curves

Shell Element Model Details



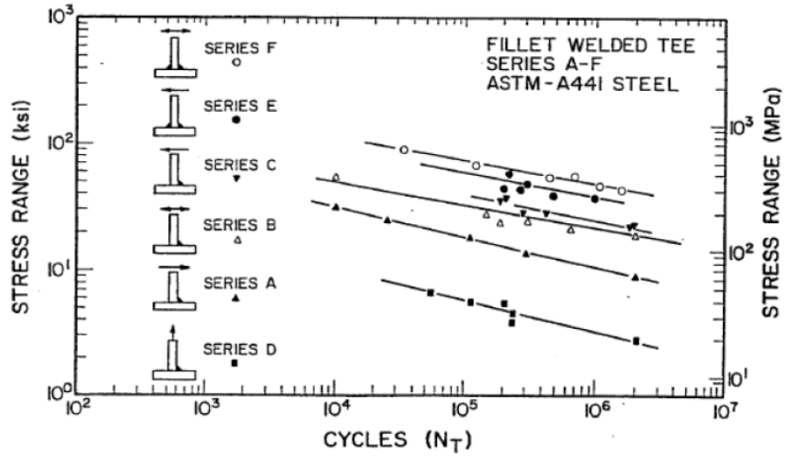
Courtesy of John Deere Co.

© 2008 Grzegorz Glinka. All rights reserved.

46

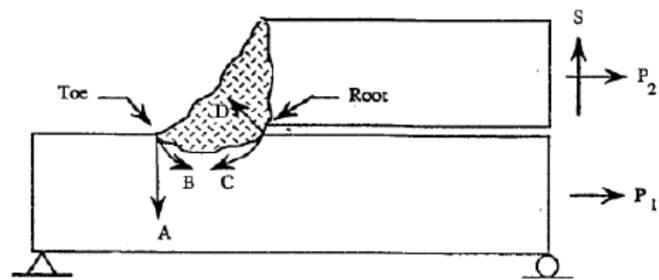
fppt.com

Design Curves



fppt.com

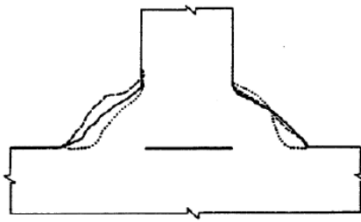
Failure Locations



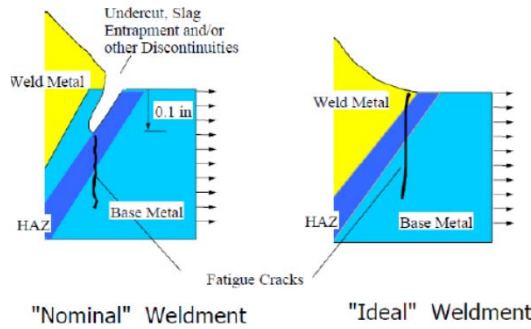
fppt.com

Fatigue of Welds

Weld Shape?

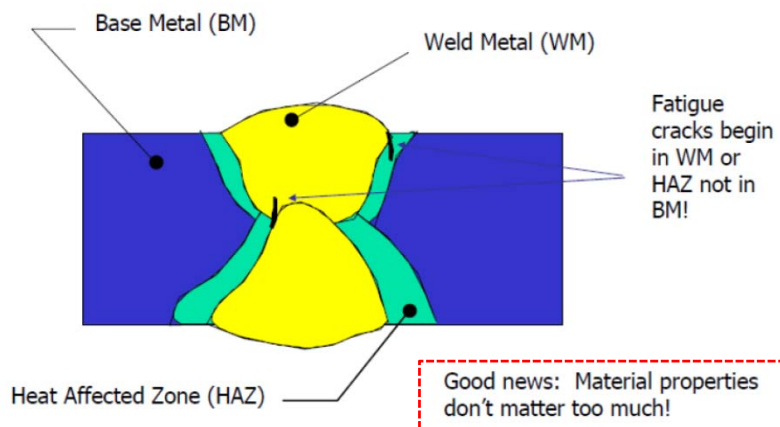


Weld Quality?



fppt.com

Material Properties



fppt.com

Fatigue of Welds

The variables influencing weldment fatigue life can be thought of as being only two:

- the magnitude of the notch root stresses.
- the properties of the notch root material.

In this sense, the applied stresses, the degree of bending, the welding residual stresses, the fabrication residual stresses, the applied mean stresses, the weldment geometry, the notch root weld defects, and the weldment size all influence the magnitude of the notch root stresses.

fppt.com

Fatigue of Welds

The fatigue behavior of a weldment is controlled by the local (notch root, hot-spot) stress-strain history.

For structural steel weldments: material properties are of minor importance except (as we shall see) to the degree that they determine and limit the value of the residual stresses.

fppt.com

AGENDA

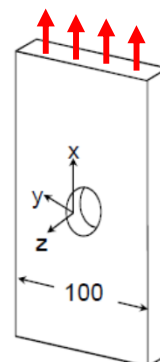
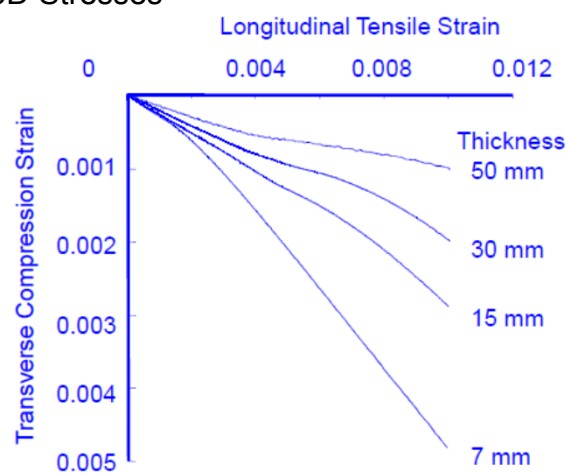
4. Metodologias para Avaliação da Vida à Fadiga (Fatigue Methodologies)
 - Carregamento Constante (Constant Amplitude)
 - S-N
 - e-N
 - da/dN-DK
 - Efeitos de Entalhes (Notches)
 - Carregamento Variável (Variable Amplitude Loading)
 - Contagem de Ciclos (Cycle Counting)
 - Acúmulo de Dano (Damage Summing Methods)
 - Efeitos da Sequência (Sequence Effects)
 - Juntas Soldadas (Welded Joints)
 - **Fadiga Multiaxial (Multiaxial Fatigue)**

dsarzosa@usp.br

fppt.com

Multiaxial Fatigue

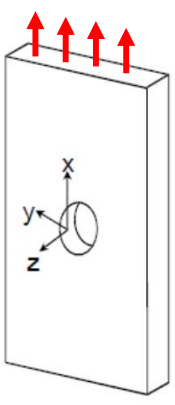
3D Stresses



fppt.com

Multiaxial Fatigue

3D Stresses

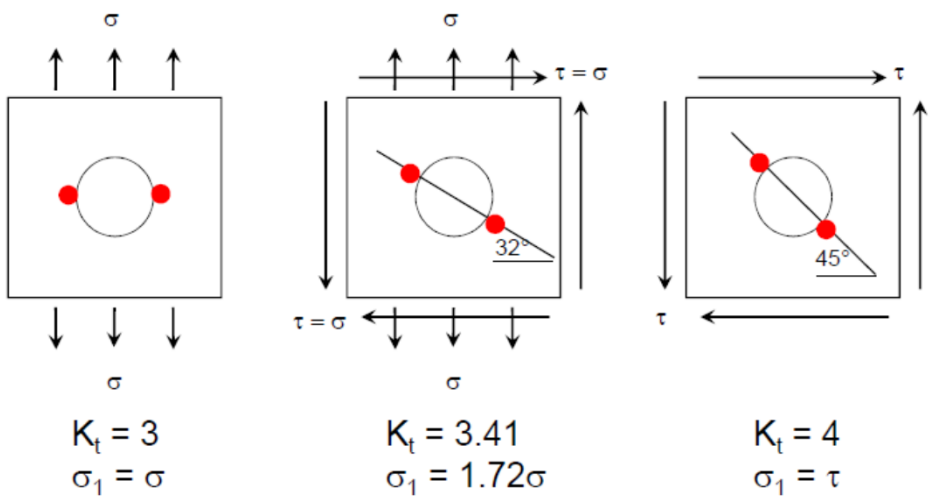


| t | ϵ_x | ϵ_z | σ_x | σ_z |
|----|--------------|--------------|------------|------------|
| 7 | 0.01 | -0.005 | 63.5 | 0 |
| 15 | 0.01 | -0.003 | 70.6 | 14.1 |
| 30 | 0.01 | -0.002 | 73.0 | 21.8 |
| 50 | 0.01 | -0.001 | 75.1 | 29.3 |

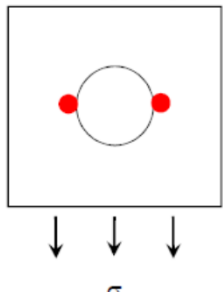
fppl.com

Multiaxial Fatigue

Maximum Stress (Plane)



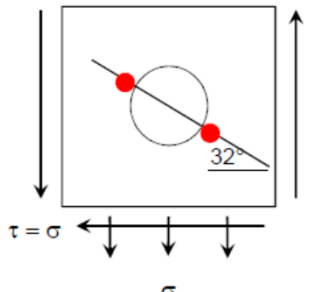
σ



σ

$K_t = 3$
 $\sigma_1 = \sigma$

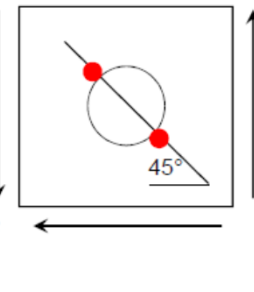
σ



$\tau = \sigma$

$K_t = 3.41$
 $\sigma_1 = 1.72\sigma$

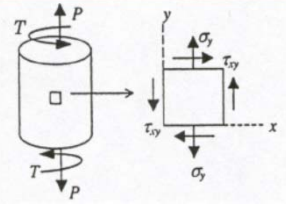
τ



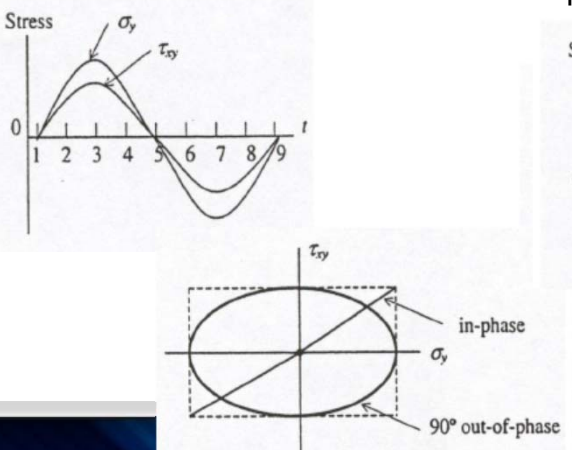
τ

$K_t = 4$
 $\sigma_1 = \tau$

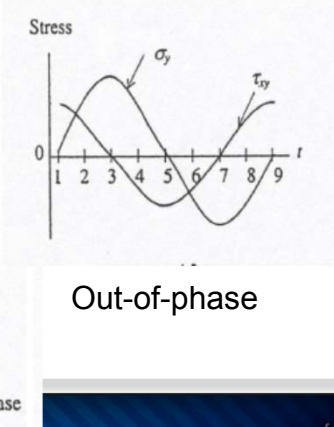
Multiaxial Fatigue



Proportional Loading

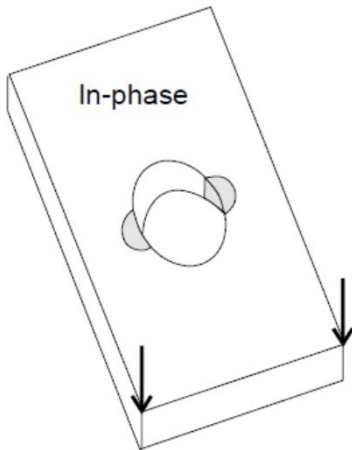


Nonproportional Loading



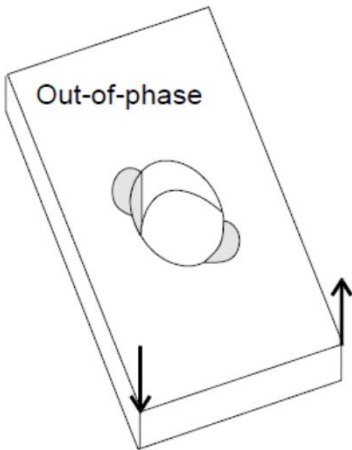
fppt.com

Multiaxial Fatigue



In-phase

$K_t = 3$



Out-of-phase

$K_t = 4$

Damage location changes with load phasing

fppt.com

Obrigado!

Diego F. B. Sarzosa
Universidade de São Paulo - USP